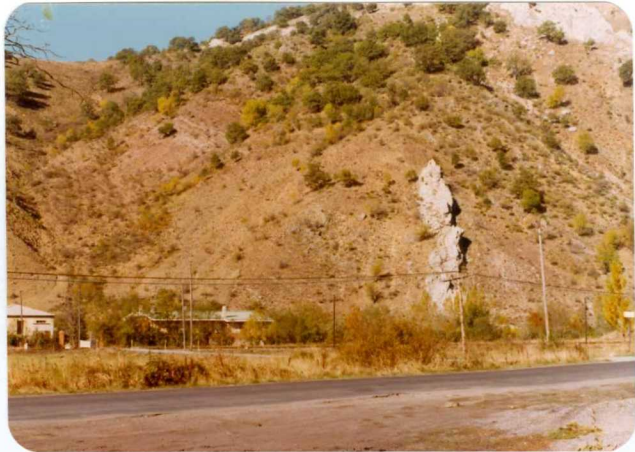
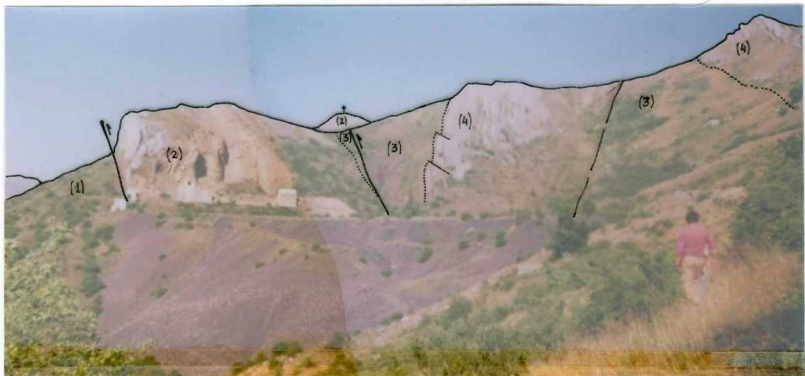




15-08-AD-AC-3000.- Panorámica de la margen derecha del Rio Esla, al N de Cistierna, en la que se aprecia la compleja estructura que origina numerosas repeticiones de la serie paleozoica.



15-08-AD-AC-3001.- Detalle de la panorámica anterior. De izquierda a derecha: F. Cuevas (H_p^{Ba-Bb}), falla, Caliza de Portilla (D_{22-31}^{3-1}), falla, Caliza griotte de la F. Alba (H_{11-1}^{A-Ba}), areniscas y cuarcitas del Dev. superior (D_3) y arriba a la derecha calizas de Portilla.



15-08-AD-AC-3002.- Vista panorámica del flanco N de la Unidad de Peña Corada con las repeticiones provocadas por las fallas en dirección. De izquierda a derecha: Estefaniense(1)-Calizas de Santa Lucía(2)-Huergas(3)-Portilla(4), repetición por falla y de nuevo Huergas y Portilla en el extremo derecho.



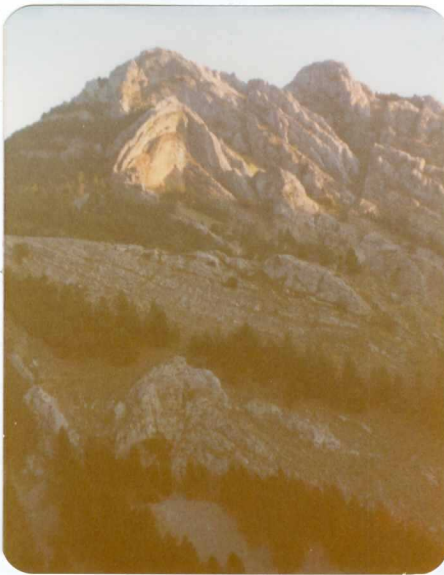
15-08-AD-AC-3003.- Detalle de la foto anterior. Falla inversa que pone en contacto las Calizas de Santa Lucía sobre el Este-faniense.



15-08-AD-AC-3004.- Vista panorámica del Valle de Sabero, con los relieves del Manto del Esla al fondo.



15-08-AD-AC- 3005.- Vista de la sucesión del Devónico Superior. De derecha a izquierda, las calizas de Portilla (D_{22-31}^{3-1}); siguen las areniscas de Nocedo (D_{31}); en el centro y de tonos amarillentos, las pizarras de Fueyo (D_{31-32}^{3-1}) y por último - las cuarcitas de la Ermita (D_{23}^3). La serie está ligeramente invertida.



15-08-AD-AC-3006.- Vista de la Unidad de Peña Corada desde el
rio Esla hacia el E. En primer lugar las C. de Sta. Lucía -
(D₁₃₋₂₁³⁻¹); Huergas (D₃₁₋₃₂¹⁻³) a continuación, y en los últimos es
carpes de Caliza de Portilla (D₂₂₋₃₁³⁻¹) con un pliegue muy carac
terístico.



15-08-AD-AC-3007. - Tramos superiores de la Formación Alba en la Unidad de Peña Corada. Aspecto peculiar de la caliza griotte.



15-08-AD-AC-3008.- Terminación oriental de Peña Corada. En pri-
mer término la Formación Huergas, concordante la Caliza de Por-
tilla, siguen las areniscas del Devónico superior que destacan
por su vegetación de brezos, y en último término las calizas -
de la Formación Cuevas en el núcleo sinclinal.



15-08-AD-AC-3009. - Detalle de los tramos calizos de la Formación Cuevas, equivalentes a lo que se ha definido como Formación Barcaliente. Foto tomada en el mismo pueblo de Cisterna.



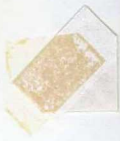
15-08-AD-AC-3010. - Pliegues que afectan a la Unidad de Peña Corada. Se observan los pliegues longitudinales vergentes al S, y los transversales más laxos, casi perpendiculares.

15-08-AD-AC-3011.- Pliegues en las calizas de la F. Cuevas, al
S de Peña Corada.





15-08-AD-AC-3012.- Aspecto de las lutitas y calizas al S de Peña Corada.



15-08-AD-AC-3013.- Vista panorámica de la Sinforma de Peña Corada, desde la estación de ferrocarril de Valle de las Casas



15-08-AD-AC-3014.- Detalle de las lutitas y areniscas del tramo
de La Espina (Hch⁵₃-B²₂). Cuenca de Prado-Guardo-Cervera.
24-32

15-08-AD-AC-3015.- Aspecto de las lutitas del tramo marino de
otero (Ha₄^{B3}-B2) en las proximidades del pueblo del mismo nombre.





15-08-AD-AC-3016.- Areniscas y lutitas del tramo continental de
Prado (Hch⁷). $B_3=B_2$.



15-08-AD-AC-3017.- Aspecto de las lutitas marinas del tramo de
Taranilla (Ha⁵-B²).
51 22



15-08-AD-AC-3018.- Vista de la Corte de Santo Domingo donde se han explotado varias capas de carbón; tramo de Sto Domingo -
(HCh8-B2).
24-32



15-08-AD-AC-3019.- Lutitas y carbón del Tramo de Sto Domingo.
Explotados a cielo abierto.



15-08-AD-AC-3020.- Panorámica desde Saelices de Sabero hacia el S. Se observan las calizas devónicas encima del Estefaniense de la Cuenca de Sabero.



15-08-AD-AC-3021.- Contacto por falla inversa de las calizas de la Unidad de Peña Corada (H_{1-1}^{Ba-Bb}) sobre los materiales detríticos del Cretácico (Utrillas) (C_{16-22}). Foto tomada al SE de Cis tierna.

tierna.



15-08-AD-AC-3022.- Vista del tramo superior calizo del Cretáci-
co (C₂₄₋₂₅) al S de Cerezal.